

# מעבדה לעיבוד אותות פיזיולוגיים

דו"ח מכון - עיבוד תמונה

מגישי הדו"ח האלופים:

אוראל בטיטו

315432724

עדן קורש

206845315

mdiricah@meditex.co.il

nofer.yirmi@meditex.co.il

21/01/2024

## תוכן עניינים

3 .....	תשובות לשאלות הינה:	
3 .....	1. רמות אפור:	
3 .....	שאלה 1 .....	.1.1
4 .....	שאלה 2 .....	.1.2
5 .....	שאלה 3 .....	.1.3
5 .....	שאלה 4 .....	.1.4
6 .....	שאלה 5 .....	.1.5
7 .....	שאלה 6 .....	.1.6
8 .....	שאלה 7 .....	.1.7
8 .....	שאלה 8 .....	.1.8
10 .....	2. סיכון לינארי ולא לינארי ותחום התדר:	
10 .....	שאלה 1 .....	.2.1
11 .....	שאלה 2 .....	.2.2
12 .....	שאלה 3 .....	.2.3
13 .....	שאלה 4 .....	.2.4
13 .....	שאלה 5 .....	.2.5
15 .....	שאלה 6 .....	.2.6
16 .....	שאלה 7 .....	.2.7
16 .....	שאלה 8 .....	.2.8
17 .....	3. פעולות מורפולוגיות (בתמונות שחור לבן):	
17 .....	שאלה 1 .....	.3.1
17 .....	שאלה 2 .....	.3.2
19 .....	שאלה 3 .....	.3.3
20 .....	שאלה 4 .....	.3.4
21 .....	שאלה 5 .....	.3.5
23 .....	שאלה 6 .....	.3.6
24 .....	4. זהויות:	
24 .....	שאלה 1 .....	.4.1
24 .....	שאלה 2 .....	.4.2
26 .....	נספחים:	
33 .....	ביבליוגרפיה:	

## תשובות לשאלות הכהה:

### 1. רמות אפור:

#### 1.1. שאלת 1

את מספר הביטים המייצגים פיקסל אחד כאשר ישנים 256 רמות אפור ניתן לחשב בדרך הבא:

$$(1) \quad 2^N = L$$

כאשר  $N$  הינו מספר הביטים (מספר שלם) ו- $L$  הינו מספר הרמות.

- במקרה זה נחישב:

$$2^N = 256$$

$$\rightarrow N = \log_2 256 = 8$$

לכן 8 ביטים מייצגים 256 רמות אפור.

- בתמונה RGB, כל נקודה בתחום ההגדרה של התמונה קיבל לא ערך אחד, כמוודם, אלא שלושה ערכים המתייחסים לעצמות (R-Red, B-Blue, G-Green). לכן, במקום  $N$  ביטים, תמונה צבעונית תדרש שלושה ערכים כאלה ולכן מספר הביטים יהיה גדול פי 3.

כלומר,  $24 = 3 \cdot 8$  ביטים מייצגים תמונה RGB בעלת 256 רמות.

- כאשר ישנים 20 רמות אפור נחישב:

$$2^N = 20$$

$$\rightarrow N = \log_2 20 = 4.322$$

במצב שכזה ניגל את מספר הביטים למעלה על מנת לקבל מספר שלם, כלומר נדרש 5 ביטים על מנת ליציג 20 רמות אפור. במקרה זה יהיה רמות אשר לא יהיו בשימוש.

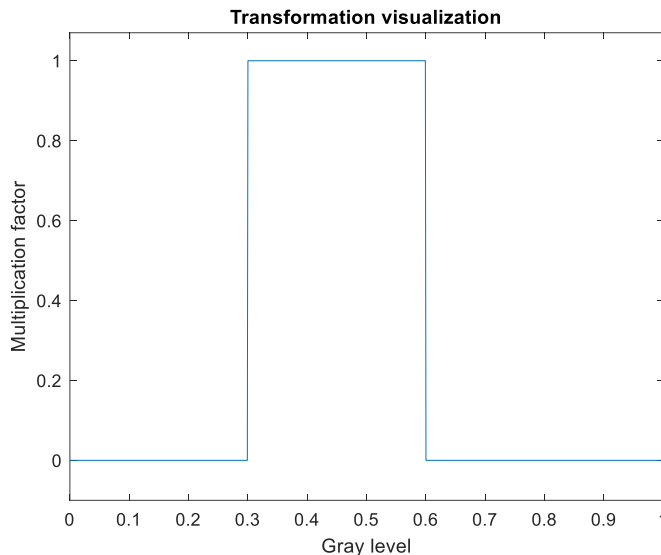
- חישבנו כי בתמונה RGB בעלת 256 רמות צריך 24 ביטים עבור פיקסל אחד. לכן על מנת לחשב את כמות הביטים הכלול לכל התמונה (1024X1024 פיקסלים), נכפול את מספר הפיקסלים הכלול במספר הביטים לכל פיקסל:

$$N = 24 \cdot 1024 \cdot 1024 = 25165824$$

## 1.2. שאלה 2

על מנת לשמר את כל ערכי האפור הנמצאים בין הערכים  $[0.3, 0.6]$  בלבד ולאפס את שאר הפיקסלים מחוץ לטווח זה, נשתמש בטרנספורמציה הבאה:

$$T\{f[m, n]\} = \begin{cases} f[m, n], & 0.3 \leq f[m, n] \leq 0.6 \\ 0, & \text{else} \end{cases}$$



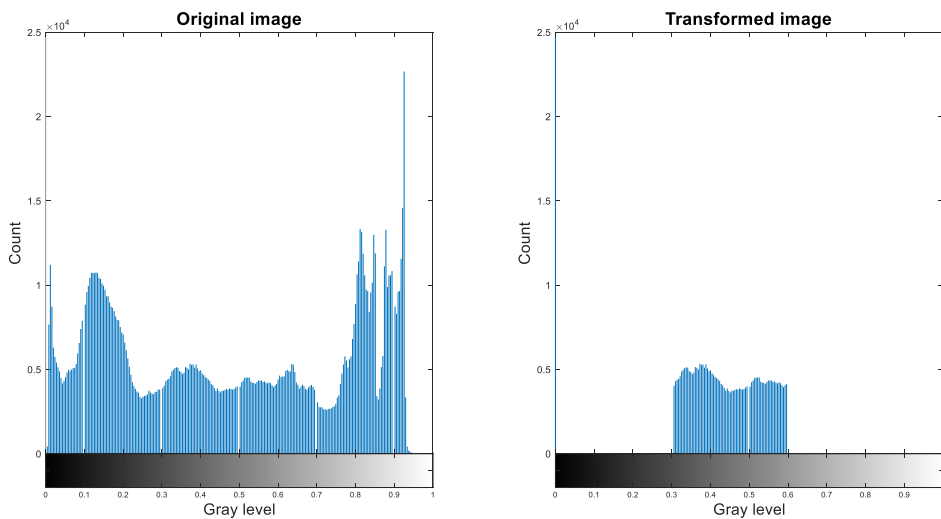
אייר 1 : איור הטרנספורמציה

אייר זה מייצג את הטרנספורמציה אשר לשמורת את הערכים (העברה מלאה) בתחום  $[0.3, 0.6]$  ומאפסת את הערכים מחוץ לתחום זה.



אייר 2 : אנחנו לפני (שמאל) ואחרי הטרנספורמציה (ימין)

באייר זה מוצגות התמונות לפני ולאחר הטרנספורמציה. נבחן כי אכן ישנה השפעה על רמות ערכי האפור הגבוהות והנמוכות אשר התאפשרו ولكن מוצגות בצבע שחור באיר.



אייר 3 : תוצאות היסטוגרמה של התמונה לפני (שמאל) ולאחר הטרנספורמציה ימיין

נבחן כי לאחר הטרנספורמציה, מספר הערכים בתחום  $[0.3, 0.6]$  שווה לערכו המקורי בעוד הערכים מחוץ לתחום התאפסו ולכן אין רואים עמודה גבוהה בערך 0.

### 3. שאלה 1.3

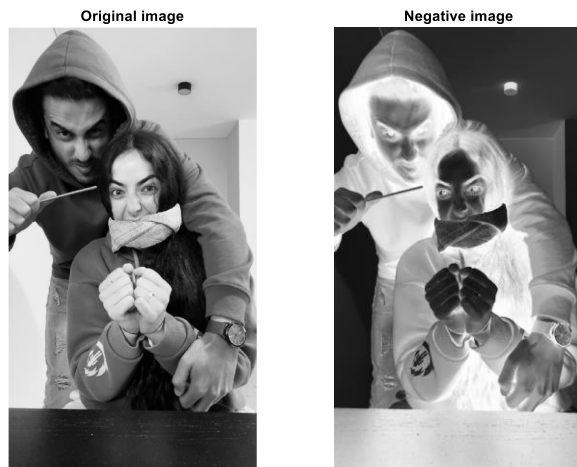
תמונה נתיב הינה תמונה בה הצלעים מתחכמים, כך שהצבע השחור (0) הופך לבן (1) ולהפך. קלומר נשימוש בטרנספורמציה הבאה :  $T\{f[m, n]\} = 1 - f[m, n]$

פונקציית המטלב :

```
function [N_IMG]=Negative(IMG)
% Inputs:
% IMG - Gray levels image
%
% Outputs:
% N_IMG - Negative image of IMG
N_IMG=1-IMG;
end
```

### 4. שאלה 1.4

נפעיל את הפונקציה שלעיל עבור התמונה המקורי :



אייר 4 : התמונה המקורי (שמאל) ותמונה הנegטיב (ימין)

באיור זה ניתן לראות כי האזוריים בהם גוני התמונה המקורי כהים יותר (כגון אזורי השיער) התחפכו והפכו לגוניים בהירים ולהפך.

### 5. שאלת 1.5

טרנספורמציה הפיכה מאפשרת להפעיל את הטרנספורמציה ההופכית שלה על ערכי המוצא על מנת לקבל את ערכי הכניסה.

$$T\{f[m, n]\} = g[m, n] \rightarrow T^{-1}\{g[m, n]\} = f[m, n]$$

התנאים ההכרחיים להיפוכות הטרנספורמציה הם :

- חד חד ערכיות - לכל איבר בקבוצת הכניסה קיים איבר ייחיד בקבוצת המוצא.
- תנאי הערכיות (על) - כל איבר בקבוצת המוצא הוא התמונה של לפחות איבר אחד בקבוצת הכניסה. משמע אין איברים בלתי מונצלים בקבוצת המוצא.

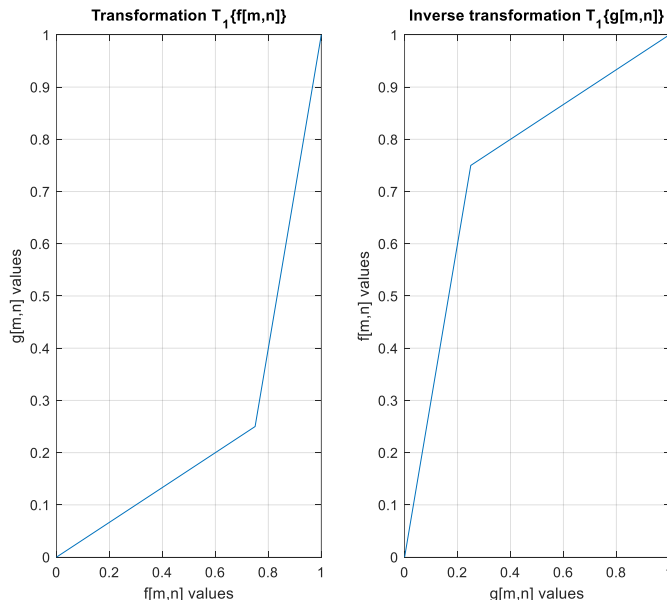
כאשר נשלב את שני תנאים הללו נקבל טרנספורמציה חד-י"ע ועל, כלומר הפיכה.

נקבע טרנספורמציה לינארית למקוטעין והיפוכה :

$$T_1\{f[m, n]\} = g[m, n] = \begin{cases} \frac{f[m, n]}{3} & , \quad f[m, n] < 0.75 \\ 3f[m, n] - 2 & , \quad f[m, n] \geq 0.75 \end{cases}$$

הטרנספורמציה ההופכית :

$$T_1^{-1}\{g[m, n]\} = f[m, n] = \begin{cases} \frac{3g[m, n]}{3} & , \quad g[m, n] < 0.25 \\ \frac{g[m, n] + 2}{3} & , \quad g[m, n] \geq 0.25 \end{cases}$$

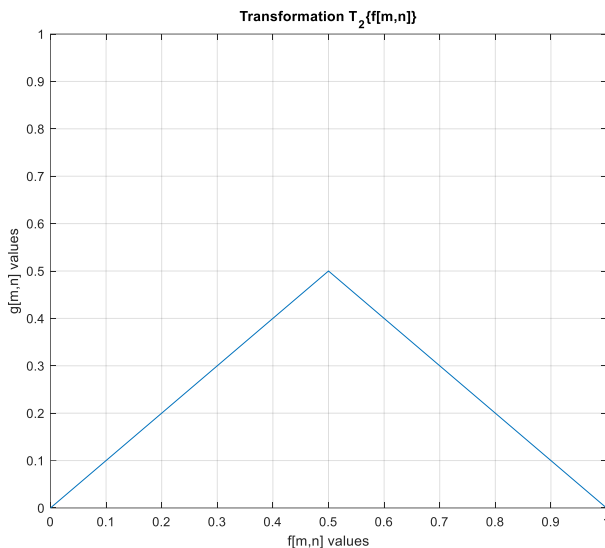


איור 5 : טרנספורמציה  $T_1$  (ימין) והטרנספורמציה ההופכית (ימין)

באירז זה ניתן לראות את הטרנספורמציה הלינארית למקוטעין שיצרנו. נשים לב כי בנקודת 0.75 בגרף משמאל שיופיע הטרנספורמציה משתנה. נבחן כי לכל ערך בסיגנל הכניסה  $f$  ישנו ערך ייחיד בסיגנל המוצא  $g$  ולכל ערך בתמונה המוצא ישנה לפחות כניסה אחת. ניתן לבדוק זאת גם בעזרת גраф הטרנספורמציה ההופכית  $T_1^{-1}$  הנמצאת מימין כי לכל ערך כניסה  $g$  ישנו ערך מוצא  $f$  בaczora חד חד ערכית ועל.

כעת נזכיר טרנספורמציה לינארית למקוטעין אך לא הפיכה :

$$T_2\{f[m,n]\} = g[m,n] = \begin{cases} f[m,n] & , \quad f[m,n] < 0.5 \\ 1 - f[m,n] , & f[m,n] \geq 0.5 \end{cases}$$



איור 6 : הטרנספורמציה  $T_2$

באירוע זה ניתן לראות את הטרנספורמציה  $T_2$  שיצרנו. נשים לב מהגרף כי אינה הפיכה, כך שישנים ערכי מוצא מסויימים (ערכים הקטנים מ-0.5) להם מתאיםים 2 ערכי כניסה שונים. דבר זה גורר שאינה חד חד ערכית, כלומר אינה הופכית.

### 6. שאלה 1.6

בHistogram Equalization זה תהליך המשפר את הניגודיות של התמונה על ידי שינוי ההתפלגות בהיסטוגרמת התמונה המתארת את ההתפלגות רמות האפור בתמונה. מטרת השימוש ב-Histogram Equalization היא לשנות את ההתפלגות היסטוגרמה התמונה להתפלגות אחידה של רמות האפור. פעולה זו עשויה לשפר את ניגודיות התמונה, במיוחד כאשר התמונה מיוצגת על ידי טווח צר של גווני אפור.

הביטוי המתמטי ל-Histogram Equalization (גרסה בדידה) עברו כל ערך של רמת אפור בתמונה הינו :

$$s_k = \frac{(L-1)}{MN} \sum_{j=0}^k p_j$$

כאשר  $L$  - מספר רמות האפור האפשריות בתמונה.  $MN$  - מספר הפיקסלים האפשריים בתמונה בגודל  $N \times M$ .  $p_j$  - מספר הפיקסלים שערכם הוא  $j$ .  $s_k$  – ההיסטוגרמה החדשה, כלומר התמונה לאחר שימוש ב-Histogram Equalization .

הפקודה המתאימה לביצוע Histogram Equalization ב-MATLAB היא histeq .

### 7. שאלה .1.7

עבור טרנספורמציה Histogram Equalization נסמן  $T(a_n) = b_n$  כאשר  $a_n$  מייצג דרגת אפור. טרנספורמציה זו הינה חד חד-ערכית. כאשר משתמש בטרנספורמציה פעם נוספת, כלומר  $T(T(a_n))$  נקבל:

$$T(b_n) = \frac{(L-1)}{MN} \sum_{j=0}^k p_{b_n} = \frac{(L-1)}{MN} \sum_{j=0}^k p_{a_n} = T(a_n) = b_n$$

המעבר בהוכחה לעיל התאפשר מכיוון שהטרנספורמציה הינה חד חד-ערכית,  $p_{a_n} = p_{b_n}$  ומכך  $T(T(a_n)) = T(b_n) = b_n$ . קיבלו Ci

### 8. שאלה .1.8

צרכנו פונקציה אשר מוסיפה תמונה של הקבוצה שלנו לתמונה שקיבלו, לצידה של מנג'י.

```
function [ResultPic]=AddToMandi(Picture)
% Inputs:
% Picture - Gray levels image
%
% Outputs:
% ResultPic - Mandi and us image

% Load background picture
background=imread("images\mandi.tif");
background=rgb2gray(background);
background=mat2gray(background);
% Remove white frame
frame=70;
background=background(frame:end-frame,frame:end-frame);
% Show the background
figure
imshow(background)

% Resize the input picture to be 0.8 time the background in the length
Picture=imresize(Picture,size(background,1)/size(Picture,1)/1.25);

% Creating the mask
mask=Picture;
ind=mask>0.8;
% 0 for brighter parts, 1 for darker parts
mask(ind)=0;
mask(~ind)=1;
% Extracting us using multiplication with the mask
Portrait=Picture.*mask;
% Show the portrait
figure
imshow(Portrait)

% Creating background mask to zero the portrait part
bgmask=ones(size(background));
bgmask(end-size(mask,1)+1:end,1:size(mask,2))=1-mask;
% The background without the portrait parts (blackened)
background=background.*bgmask;

% continuation of the portrait in terms of length and width to mach the
% background size (blackened)
addPicture=zeros(size(background));
```

```

addPicture(end-size(Portrait,1)+1:end,1:size(Portrait,2))=Portrait;

% Adding the background and the portrait together
ResultPic=background+addPicture;
end

```

פונקציה זו תחילת טעונה את תמונה הרקע של מנדி, הופכת אותה לגוני אפור ומנורמלת, מורידה את המסגרת הלבנה ולבסוף מציגה אותה.



איור 7 : תמונה הרקע- מנדי במוזיאון

לאחר מכן הפונקציה משנה את ממדיה התמונה של הקבוצה שלנו כך שיתאיםו לחלק הספציפי בתמונה הרקע ( לחלק השמאלי ) ויצרת את המסכה- גוני לבן ( הרקע ) משתנים להיות ערבי אפס וגוני שחור ( אנחנו ) משתנים להיות ערבי 1 . לאחר מכן, אנו כופלים את התמונה המקורית שלנו במסכה על מנת להשאיר אותה מהרקע.

$$Mask[m,n] = \begin{cases} 0, & OriginalImage[m,n] > 0.8 \\ 1, & OriginalImage[m,n] \leq 0.8 \end{cases}$$



איור 8 : חילוץ האנשים מהתמונה

באיור זה ניתן לראות כי הרקע נהפך לשחור בעוד שדיוקנו נשאר כמו שהוא. נשים לב כי ישנו מקומות ספציפיים קטנים אשר האלגוריתם של המסכה זיהה כרקע ( לדוגמת אзорים ביד ואзорים על הבגדים) מכיוון שהיו בהירים מדי.

לאחר מכן, אנו מAppending את הפיקסלים הרלוונטיים בתמונה הרקע אשר יחפפו עם תמונהנו על מנת שלא תהיה חפיפה בערכיהם לאחר החיבור בין שתי התמונות. ולבסוף, נרחיב את התמונה שלנו בעזרת הוספת אפסים שיתאימו לגודל תמונה הרקע ונחבר ביניהם.

Stinky Mandi and us at the museum



איור 9 : מוצא הפונקציה - מדי ואנחנו במווזיאון

באյור זה ניתן לראות את תמונה המוצאת שיצאה מהפונקציה. נראה כי היה חיבור בין איור (7) לאיור (8) כך שאנו נמצאים על תמונה הרקע בלבד עם מדי.

## 2. סינון לינארי ולא לינארי ותחום התדר:

### 1. שאלה 1

כאשר אנו מבצעים סינון מריחבי, אנו מבצעים קונבולוציה של אזורים בתמונה עם מטריצה מסדר נמוך בהשוואה לתמונה (למשל  $3 \times 3$ ). בבייצוע הקונבולוציה אנו מעבירים פילטר על כל פיקסל בתמונה ולמעשה מבצעים חישוב של ערך חדש לפיקסל בהתאם לערכים של הפיקסל הנ蝹ן והפיקסלים שבסביבו. החישוב מתבצע באמצעות פונקציה שנקראת "קרNEL" או "מסkn", שגדירה את הדרך שבה הערכים של הפיקסלים הסמוכים משפיעים על הערך החדש של הפיקסל. אנו משתמשים בסינון מריחבי על מנת להשפיע על התכונות המרוחביות של התמונה, כגון החלקה, הסרת רעשים, הדגשת קווים מתארים בתמונה ופעולות נוספות. הבעה עם קצודות התמונה בעת ביצוע סינון מריחבי היא שהסינון מחייב סביבה של פיקסלים סביבה הפיקסל אותו אנו מעוניינים לסנן. אולם, בקצוות התמונה, אין לנו מספיק פיקסלים סביבה ולכן אנו נתקלים בעיה כיצד להתמודד עם הפיקסלים שלא קיימים. על מנת לפתור בעיה זו, נוכל להיעזר בשיטות הבאות:

- המשכה מחזוריית של התמונה.
- הרחבת התמונה, כלומר ניתן להוסיף שורות ועמודות של פיקסלים בקצוות התמונה.
- הערכים של הפיקסלים החדשניים יכולים להיות 0 (שחור), 1 (לבן) או הערך של הפיקסל הקרוב ביותר בתמונה המקורית.
- התמקדות באזורי המרכז של התמונה בלבד. כלומר, ישנה התעלמות מהפיקסלים בקצוות התמונה והסינון יתבצע רק על האזורי המרכזי, אשר יש מספיק פיקסלים של התמונה סביבו לצורך הסינון.

עבור הפתרון של הרחבת התמונה, היתרון של שיטה זו הוא שהיא פשוטה למימוש ומאפשרת לשמור את התמונה המקורית. החיסרון הוא שהוא יכולה ליצור תוכאות מעוותות, במיוחד כאשר הפיקסלים שנוסף אינם מתאימים לתמונה המקורית.

## 2.2. שאלת 2

אופרטור הלפלסיאן הוא כלי שימושי למדידת חידוד תמונה. האופרטור מ被执行 על ידי בוחינת פיקסל ביחס לשכניםו, כאשר ההבנה היא שאם הפיקסל משתנה משכניםו, זה יתבטא בתווצאת הקונבולוציה. אם לעומת זאת, הפיקסל אינו משתנה מהסבירה שלו, התווצאה של הקונבולוציה תהיה מספר שקרוב לאפס. כאשר אנו מדברים על תדר וסינון באמצעות H-PF ו-LPF, אנו מתיחסים למחירות שינוי של ערכי הפיקסלים בתמונה. לפני שנבחן את המטריצה שמייצגת את האופרטור, נבחן את הפיתוח המתמטי של האופרטור והקשר שלו לנגזרת השנייה. אופרטור הלפלסיאן מוגדר כך [1] :

$$(2) \quad \Delta f(x, y) = \nabla^2 f(x, y) = \frac{\partial^2 f(x, y)}{\partial x^2} + \frac{\partial^2 f(x, y)}{\partial y^2}$$

מאחר ונגזרת ברצף מייצגת הפרשים בין ערכים סמוכים במרחב אינפיניטסימלי, למרחב התמונה היא מוגדרת על ידי ההפרש בין פיקסלים סמוכים באותו שורה או عمودה, תוך הנחה שהמרחב בינויהם הוא 1. כאשר אנו עומדים על הדגימה  $[m, n]$  ישנן שתי אפשרויות: גזירה אחורית וגזירה קדמית.

$$\frac{\partial f}{\partial x} \rightarrow f[m, n] - f[m - 1, n] \quad \text{or} \quad f[m + 1, n] - f[m, n]$$

משווה זו עבר גזירה אופקית. באופן דומה ניתן להגדיר גזירה אנכית.

גזירה שנייה היא הפרש על הנגורות עצמה. לכן, גזירה שנייה אופקית תהיה :

$$\frac{\partial^2 f}{\partial x^2} \rightarrow (f[m + 1, n] - f[m, n]) - (f[m, n] - f[m - 1, n])$$

$$\frac{\partial^2 f}{\partial x^2} \rightarrow f[m + 1, n] + f[m - 1, n] - 2f[m, n]$$

מכאן, אופרטור הלפלסיאן הדיסקרט מתקבל על ידי :

$$\Delta f[m, n] = f[m + 1, n] + f[m - 1, n] + f[m, n + 1] + f[m, n - 1] - 4f[m, n]$$

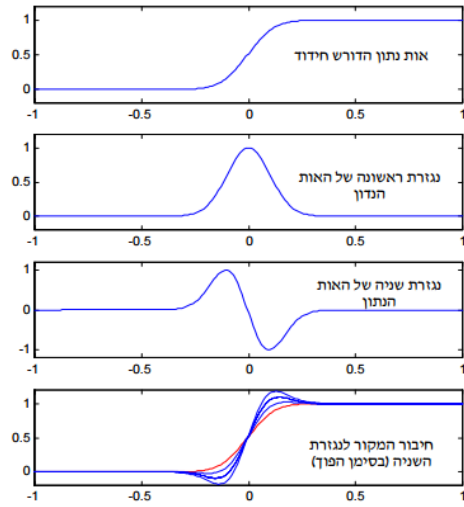
בצורה מטריציונית, המשך ייכתב כך :

$$K_{Laplacian} = \begin{bmatrix} 0 & -1 & 0 \\ -1 & 4 & -1 \\ 0 & -1 & 0 \end{bmatrix}$$

השימוש במסנן הלפלסיאן שהוזכר לעיל אינו מתחשב בערכי הפיקסלים שנמצאים באלכסונים. לכן, ניתן להשתמש במטריצה אחרת שמקללת את האלכסונים.

$$K_{Laplacian}^* = \begin{bmatrix} -1 & -1 & -1 \\ -1 & 8 & -1 \\ -1 & -1 & -1 \end{bmatrix}$$

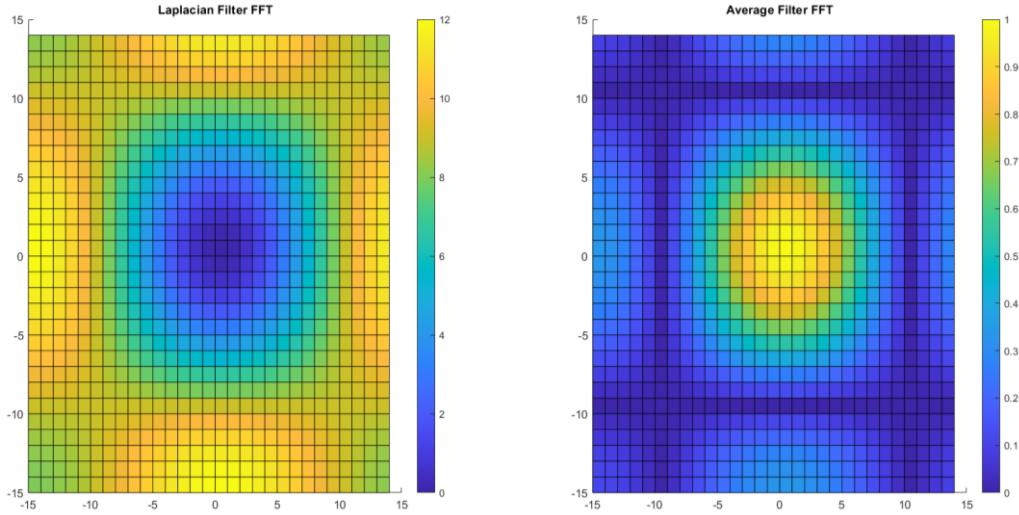
האיור הבא מסכם את התהליך וממחישו באופן מיטבי:



איור 10 : הממחשת תהליכי החידוד לאותות חד-ממדיים

### 3.2.3 שאלה 3

התבקשו להציג את התמרת פורייה של שני המסננים (לפלסיאן ומייצוע) באמצעות MATLAB. לשם כך ריפדנו כל מסנן באפסים מסביב למטריצות לקבלת מטריצה  $30 \times 30$  לפני ביצוע ההתמרה. להצגת התוצאות שהתקבלו נעזרנו בפונקציה 'surface' וקיבלו כי :



איור 11 : מסנן לפלסיין בתחום התדר

באיר לעיל ניתן לראות את המסננים (לפלסיאן ומייצוע) בתחום התדר, כפי שהתקבלו על ידי שימוש בפונקציה 'surface'. מהתבוננות בחלק השמאלי, בו מוצג מסנן לפלסיין, ניתן להסיק כי מסנן זה הינו מסנן HPF. זאת מושם שבמרכז התמונה, שם התדרים הנמוכים, נראה צבע כחול המעיד על דיכוי התדרים הנמוכים, בעוד שבקצותו, שם התדרים גבוהים יותר, נראה צבעים בהירים כמו צהוב, המעידים על הדגשת התדרים הגבוהים.

לעומת זאת, בה התבוננות החלק הימני, בו מוצג מסנן מייצוע, ניתן לראות כי מסנן זה הינו מסנן LPF. ניתן להבחן כי נראה מגמה הפוכה. התדרים הנמוכים מודגשתים בצהוב, משמע הדגשת התדרים הנמוכים ובפרט תדר ה- DC (מייצוע), והתדרים הגבוהים מופיעים בכחול, מה שמעיד על דיכוי התדרים הגבוהים. בנוסף, היות והמסנן LPF הינו מסנן ריבועי מרחב, התוצאה התדרית שלו היא  $\text{sinc}^2$ -מימדי.

הבחירה בין המנסנים תלויה במטרת העבודה :

- במקרה בו נרצה לשפר תמונה מוטושטשת, נבחר להשתמש במסנן לפלייאן. נסביר זאת; שינויים מהירים בערכי פיקסלים בתמונה נחשבים לתדרים גבוהים, ושינויים איטיים נחשבים לתדרים נמוכים. תמונה מוטושטשת מתאפיינת בכך שהשינויים בין ערכי הפיקסלים הם איטיים ולכון יש פחות תדרים גבוהים. כאשר מעוניינים לחזק תמונה, מטרת החידוד היא להבליט את השינויים מהירים הללו, וכך לזרום להדגיש את הקצוטות והפרטיטים בתמונה, שהם מקורות לתדרים גבוהים. לכן מסנן לפלייאן, שהוא מסנן חדות המדגיש תדרים גבוהים יתאים יותר למקרה זה.
- במקרה בו נרצה לטשטש תמונה, ככלור שהשינויים בין ערכי פיקסלים בתמונה יהיו איטיים יותר, נבחר להשתמש במסנן מייצוע. מסנן זה ממציע את הערכות של הפיקסלים ובכך מטשטש פרטים.
- במקרה בו נרצה לזרום גבולות בתמונה, נבחר להשתמש במסנן לפלייאן, שכן הוא מגביר תדרים גבוהים ומדגש שינויים חדשים בעוצמת האור, שהם אופייניים לגבולות התמונה.

#### 4. שאלה 4

על מנת ליצור מסנן תדרי מהמסכנות מן הסעיף הקודם עבור תמונה בגודל  $512 \times 512$ , נתחשב בגודל התמונה וברזולוציה שלה. ראשית, ניצור מטריצת קרnell שמייצגת את המסנן הרצוי (לפלסיאר/מייצוע). לאחר מכן, יש להפעיל את המסנן על התמונה באמצעות פועלות קונבולוציה. השלבים להפעלת המסנן על התמונה הם : המרת התמונה למשור התדר על ידי שימוש בהתרמת פורייה (FFT), יצירת מסנן תדרי באותו גודל כמו התמונה, כאשר המסנן מורכב ממסכנות שנבחרו, כפל אלמנט-אלמנט של התמונה במישור התדר עם המסנן התדרי והחזרת התמונה למישור המרחבית על ידי התרמת פורייה הפוכה (IFFT) כך שנקבל את התמונה החדשה לאחר סינון.

#### 5. שאלה 5

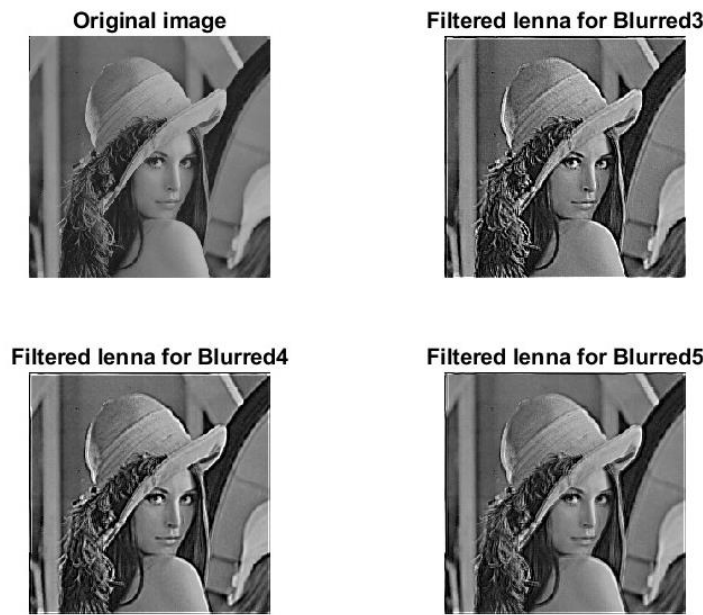
ראשית, על מנת לטשטש תמונה נרצה להשתמש במסנן מייצוע, כפי שהסבירנו בסעיף 2.3. נטשטש את התמונה בעזרת מסנני מייצוע בגודלים שונים:  $5 \times 5$ ,  $4 \times 4$ ,  $3 \times 3$ .



איור 12 : התמונה המקורית (שמאלו לעילו) והתמונות המוטושטות בעזרת מסנני מייצוע בגודלים שונים

באיור זה ניתן לראות את התמונה המקורית של lenna (שמאלו לעילו) ואת התמונות המוטושטות שהתקבלו לאחר שימוש במסנני מייצוע בגודלים שונים ( $5 \times 5$ ,  $4 \times 4$ ,  $3 \times 3$ ). נבחן כי גודל המסנן משפיע על רמת היטשטוש הנוצרת בתמונה, כך שמסנן גדול יותר מבצע מייצוע על טווח גדול יותר של פיקסלים בכל פעם ולכון התמונה שמתකבלת מוטושטשת יותר.

נשפר את התמונה בדרך שהצענו בסעיף 2.4 באמצעות שימוש במטריצת לפלייאן  $3 \times 3$ :



אייר 13 : התמונות שהתקבלו לאחר שימוש במטריצת לפלייאן

ניתן לראות כי התמונות שהתקבלו אכן חדות יותר, ככלומר שיפרנו את איכות התמונה.

כעת נשפר את התמונה בעזרת שימוש בפונקציית `fspecial` המובנית ב-MATLAB.



אייר 14 : התמונות שהתקבלו לאחר שימוש בפונקציית `fspecial`

ניתן לראות כי גם כאשר השתמשנו בפונקציית `fspecial` התמונות שהתקבלו ברורות יותר, ככלומר שיפרנו את איכות התמונה. אולם, מהtabוננות בתמונות שהתקבלו לאחר שימוש בשתי השיטות, נראה כי קיים שינוי בין התמונות ונראה כי קיבלנו תמונות חדות יותר בשימוש בלפליאן כפי שתיארנו בסעיף 2.4, כאשר קווים המתאר והקצוות בתמונה בולטים יותר לעין.

## נציג את ערכי ה-MSE שיחסבנו בעזרת ה-MATLAB :

טבלה 1 : חשניות שהתקבלו מימוש ב-2 השיטות המתווארות

fspecial function	שגיאה עבור	גודל המסן
$2 \cdot 10^{-3}$	$18.7 \cdot 10^{-3}$	$3 \times 3$
$2.7 \cdot 10^{-3}$	$14.8 \cdot 10^{-3}$	$4 \times 4$
$2.3 \cdot 10^{-3}$	$9.4 \cdot 10^{-3}$	$5 \times 5$

ניתן לראות כי שגיאות הסיכון שהתקבלו לאחר שימוש בפונקציה fspecial המובנית ב-MATLAB קטנות מהשגיאות שהתקבלו לאחר שימוש במסנן פולסיאן, עבור כל גודלי המסן. בהתבסס על תוצאות אלו נאמר כי שימוש ב-command הינה הדרך הטובה יותר.

### שאלה 6 .2.6

בסעיף זה התבקשנו לבטל אחוז מסוים (10,50,90) מרכיבי התדר הנמוכים בתמונה (לפי אנרגיה כללית), ככלומר לבצע HPF עבור רכיבי התדר. בינו מסנן LPF על ידי חיסור של מסנן פולסיאן ממטריצת אחדות. את מסנן LPF בנווrat מסנן גausian שהתקבל משימוש בפונקציית fspecial. מסנן הגausian המתאים לצורך המימוש נבחר כך שטיטית התקן שנבחרה היא זו שהתקבלת כאשר האנרגיה שקיבלנו הייתה שווה או קטנה מהאחוז הרצוי מתוך האנרגיה הכללית. לאחר מכן, ביצעו התמרה הפוכה לקבלת התמונה. חזרנו על תהליך זה עבור איפוס 50%, ו-90% מהתדרים. להלן התוצאות שהתקבלו :

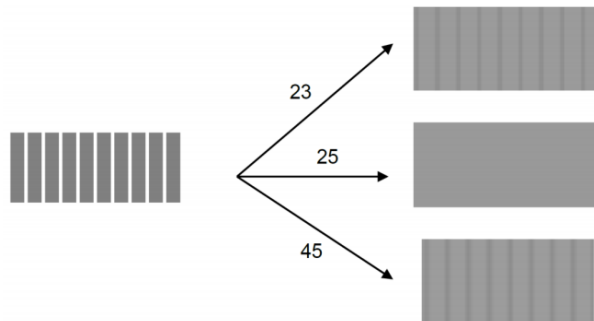


אייר 15 : התמונות שהתקבלו לאחר ביטול רכיבי התדר הנמוכים באחוזים שונים

באир זה ניתן לראות כי ככל שאחוז הסיכון עולה, ככלומר כאשר האנרגיה הכללית בעלת ערך קטן יותר, כך התמונה בגוונים כהים יותר. בנוסף, אפשר לזהות ירידת זיהוי פרטיים כליליים ברורים נשים לב כי כיוון שהתדרים הגבוהים נשמרו, איזי קווי המתאר וגבולות התמונה נשארים ברורים וחדים. דבר זה תואם לципיוטינו, כיוון שעל פי הידענו לנו התדרים הגבוהים הם אלו האחראים לשינויים החדים ולגבולות בתמונה.

### 7. שאלה 7

בשאלה זו נתונה לנו תמונה אשר עברה סינון מרחבי ע"י 3 מסננים מציעים באורך 23, 25 ו-45 פיקסלים. התהיליך ותוצאת הסינון מופיעים באIOR הבא:



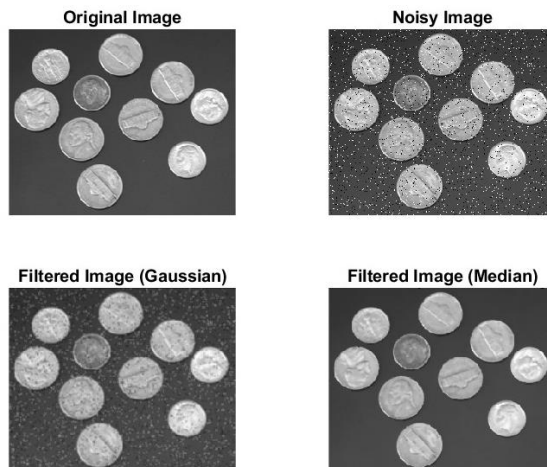
איור 16 : התמונה הנתונה (משמאל) וההתוצאות שהתקבלו עבור המסננים השונים (מימין)

מайור זה ניתן לראות שבתוצאות הסינון עבור המסננים באורך 23 ו-45 פיקסלים עדין ניתן להבחין בחלק מהפסים המקוריים, בעוד שעבור המסן באורך 25 פיקסלים התמונה נראהיה אחידה ולא הבדלים בין הפיקסלים. תופעה זו נובעת מהתאמנה בין אורך המסן לזרירות הפסים בתמונה המקוריית. כאשר אורך המסן מתאים בדוקן לרוחב של מספר שלם של פסים, המסן מציע את הערכיים באופן שמאחד את ההבדלים בין הפסים לרקע, ובכך יוצר תמונה אחידה ללא הבדלים ברורים. נראה שהמסן באורך 25 פיקסלים, מתאים בדוקן למרוחקים בין הפסים, ולכן התמונה המסוננת נראהיה אחידה. לעומת זאת, המסננים באורך 23 ו-45 פיקסלים אינם מתאימים באותה מידת לזרירות הפסים, לא מחליקים את התמונה באותה מידת, וכותזאה מכך ניתן להבחין בפסים לאחר הסינון.

### 8. שאלה 8

נமש את הפונקציה CleanSP הבאה :

```
function out_I = CleanSP(in_I, Type, var1, var2)
    if strcmp(Type, 'Gaussian')
        h = fspecial('gaussian', var1, var2);
        out_I = filter2(h, in_I, 'same');
    elseif strcmp(Type, 'Median')
        out_I = medfilt2(in_I, [var1 var2]);
    else
        error('Invalid filter type');
    end
end
```



איור 17 : תוצאות הסינון שהתקבלו לאחר שימוש במסננים השונים - גausian (שםאל תחתון) וחץן (ימין תחתון)

באIOR זה ניתן לראות כי לאחר שימוש במסנן חציון התוצאה שהתקבלת טובה יותר. תוצאה זו מתבססת עם הידע לנו על אופי המנסנים ואופי הרעש שהתווסף. רעש מסוג salt&pepper מופיע בהפרעות חדות ופתאומיות בתמונה, המופיעות כפיקסלים לבנים ושחורים המופיעים באופן אקראי, כפי שניתן לראות בתמונה המורעתה המופיעות באIOR לעיל (ימין עליון). לכן, מסנן החציון לעיל יותר לסינו רעש מסווג זה, זאת מכיוון שמסנן זה מחליף כל ערך פיקסל בתמונה בערך החציון של הפיקסלים השכניםים. החציון אינו רגש לערכיהם קיצוניים אשר אופייניים לשוג רעש זה ולכן מצליח להסירם מבלתי להשפיע באופן משמעותי של ערכי הפיקסלים הסובבים וכך לשמר את נראות התמונה. לעומת זאת, מסנן גאוסי מבצע מיצוע מסווקל של ערכי הפיקסלים בעזרת גרעין גאוסי, הוא מתחשב בערכים שכנים לעיל בסינו רעשים המאפיינים בערכים קיצוניים המאפיינים רעש מסוג salt&pepper [1].

### 3. פעולות מורפולוגיות (בתמונה שחורה לבן):

#### 3.1 שאלה 1

אלגוריתם "Hit-or-Miss" הינו טרנספורמציה מורפולוגית עבור זיהוי תבניות וצורות בעיבוד תמונה בינהרית [2]. תמונה בינהרית הינה תמונה המורכבת מפיקסלים אשר ערכם יכול להיות 1, 0 או don't care. השימוש בטרנספורמציה זו ועוד בעיקר לצורך זיהוי קבוצות פיקסלים קתנה מסוימות המבודדות משאר חזית התמונה. התבנית שנרצת לזהות תהיה בתצורת שכנות אשר מורכבת מפיקסלים שהם חלק מהחזית של התמונה ופיקסלים שהם חלק מהركע. ניתן להתייחס אליהם כאל שתי קבוצות של פיקסלים, החזית והركע שהן לא חופפות אחת עם השנייה. לשתי קבוצות אלו תהיה נקודת ראשית אחת. מרייצים את התבנית על פני כל התמונה ובודקים האם הקבוצה של החזית תואמת לערך הפיקסלים שמוכל בחזית התמונה הכוללת בעוד שקבוצת הרקע אינה תואמת כלל לקבוצת חזית התמונה. על כן שם הטרנספורמציה הוא "Hit-or-Miss", כאשר קבוצה אחת "פוגעת" בחזית והקבוצה השניה "mphast" את חזית התמונה.

כאשר אנו מוצאים מערך פיקסלים אשר תואם למערך התבנית אותה נרצה למציאו, הטרנספורמציה תhapeק את הפיקסל בראשית התבנית להיות 1 ואת שאר הפיקסלים תסמן כ-0. נוסחת הטרנספורמציה:

$$(3) \quad HMT_B(X) = \{x | (B_1)_x \subseteq X, (B_2)_x \subseteq X^c\}$$

כאשר  $X$  הינה קבוצת החזית של כל התמונה,  $B$  קבוצת התבנית הרצiosa בעל נקודת ראשית אחת אשר מורכבת משתי תתי קבוצות  $B_1 := foreground$ ,  $B_2 := background$ . באמצעות נוסחה זו, לוקחים את כל הנקודות אשר מקיימות כי קבוצת חזית התבנית מוכלת בקבוצת החזית הכוללת וגם קבוצת רקע התבנית מוכלת בקבוצת החזית המשלימה (קבוצת רקע התמונה).

#### 3.2 שאלה 2

בנייה פונקציה המתירת תבניות רצויות בתחום תמונה:

```
function [n,Coordinates]=LocateCirc(IMG)
% Inputs:
% IMG - Gray levels image
%
% Outputs:
% n - number of identified patterns.
% Coordinates - a vector with the XY coordinates of the
% required pattern [ n * 2 (X Y)]

% Extracting the pattern by eye
origin=[48 153];
bg=30;
pattern=IMG(origin(1)-bg:origin(1)+bg,origin(2)-bg:origin(2)+bg);
% Showing the pattern
figure
```

```

imshow(pattern)
title('Desired pattern')

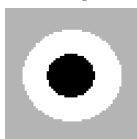
% Finding all reacurent patterns in the image
hit=false(size(IMG));
% Loop of all pixels in the image (within a frame of 30 pixels high and
% wide)
for x=bg+1:size(IMG,1)-bg
    for y=bg+1:size(IMG,2)-bg
        % Comparisson of the pattern and the appropriate size array of a
        % certain part of the image. Calculation of the number of matching
        % pixels and comparisson to the total number of pixels in the
        % pattern. If matching then True, else False
        hit(x,y)=nnz(IMG(y-bg:y+bg,x-bg:x+bg)==pattern)==(2*bg+1)^2;
    end
end
% Calculating the number of matches
n=nnz(hit);
% Creating coordinates vector
[X,Y]=find(hit);
Coordinates=[X;Y];

% Showing the original image and the identified patterns marked as red X
figure
imshow(IMG)
hold on
scatter(X,Y,[],"red",Marker="x")
title('Original image and identified patterns')
legend('Patterns')
end

```

פונקציה זו מקבלת תמונה בגווני אפור וpollטת את מספר הפעמים בהן התבניות נמצאו בתמונה: ואת מיקומם בוקטור קואורדינטות. תחילה, הפונקציה מייצרת את התבנית אותה רצתה למצוא:

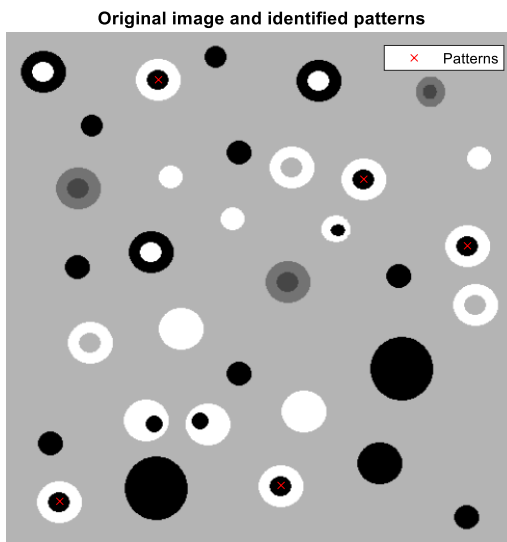
**Desired pattern**



אילר 18 : התבנית הרצוייה

נזכיר לולאה אשר רצתה אורך ורוחב התמונה, כאשר ישנו מרוחך של 30 פיקסלים מהקצוות על מנת לאפשר השוואת בין התבנית בעלת  $61 \times 61$  פיקסלים למקטע התמונה שניקח. עבור כל ערך בלולאה, נשווה בין המקטע הספציפי לתבנית, נספר את מספר הפיקסלים התואימים לתבנית ולבסוף נשווה למספר הפיקסלים הכלול של התבנית (3721). נעשה זאת על מנת לוודא כל הפיקסלים במקטע שנלקח יהיו חופפים לתבנית הרצוייה.

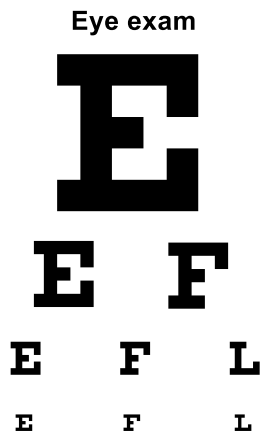
הפונקציה מחשבת את כמות התבניות שנמצאו ואת וקטור הקואורדינטות ומציגה את התמונה המקורית ומעלה סימון התבניות שנמצאו :



אייר 19 : התמונה המקורית והتبניות שנמצאו

באיור זה ניתן לראות את התמונה המקורית שעליה מסומנות התבניות שנמצאו על ידי סימון איקס אדום. נבחן כי זיהינו את כל המקטעים התואמים לתבנית באיור (18) ולא קיים זיהוי מוטעה.

**3.3. שאלת 3**  
נציג תחילה את התמונה הנקייה :

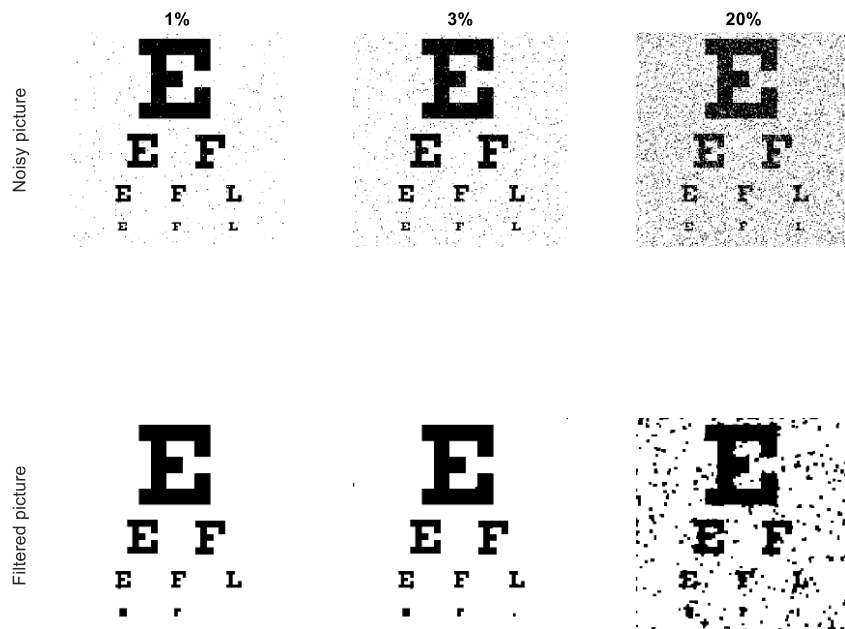


אייר 20 : התמונה הנתונה לפי הוספה הרעש הסינטטי

באיור זה ניתן לראות את תמונה בדיקת הראייה הנקייה. נבחן כרואי 6/6 כי כל האותיות בכל רמה ברורות וחדות.

הוסףנו בצורה סינטטית רעש "Salt and Peper" לתמונה באחויזי צפיפות שונים ולאחר מכן סיינו את הרעש באמצעות פעולות מורפולוגיות של פתיחה (dilation) המלווה בסגירה (erosion) עם אלמנט של מטריצת אחדות בגודל  $3 \times 3$ . פעולות מורפולוגיות אלה משמשות בעיקר לסינון תמונות כאשר פתיחה גורמת להחלהת התמונה ולהסרה של גורמים קטנים בעוד שסגירה גורמת למילוי חורים קטנים בתמונה.

Salt & Peper noise and filtered images



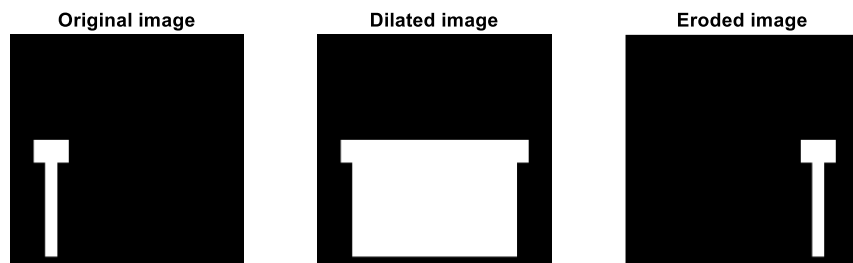
איור 21 : תמונות בדיקת הראייה המורעשות ותוציאות הסינוון

באיור זה ניתן לראות את התמונות המורעשות ברעש ה-salt&paper בשורה העליונה ואת סינוונים בשורה התחתונה בהתאם. נבחן כי לאחר הפתיחה המלאה בסגירה, התמונות עם האחזים הנמכרים של הרעש (שמאל ואמצע) סוננו באופן ייעיל. האותיות הגדולות סוננו בהצלחה עד כדי הוספת פיקסלים שחורים בודדים לכל אות, אך למרות זאת האותיות הקטנות אכן סוננו מהרעש אך צורתם השתנה בצורה דרמטית. לדוגמה האות E התמלאה וכעת נראה כריבוע שחור והאות L בשורה התחתונה נעלמה כמעט. זאת מכיוון שהאלמנט שבחרנו, מטריצת אחדות בגודל 3X3, אינו מתאים לבדוק לצורת האות ולכן האותיות הקטנות סוננו בצורה חלקית. עבור אחותו הרעש הגבוה (ימין) נשים לב כי הסינוון לא עבר בהצלחה. מכיוון שאחותו הרעש היה גדול מאוד, יותר פיקסל רעש היו מקובצים, ולכן האלמנט בחרנו התאים גם לאזרוי הרעש, ככלומר הרעש לא הונחת בסינוון.

על מנת להניח את אחותו הרעש הגבוהים בצורה מיטבית יותר, נצטרך להשתמש באלמנט ספציפי ויודדי לתמונה כך שייתאים אך ורק לאזרוי התמונה המקורי ויהיה פחות סיכון לשיטאים לאזרוי הרעש. דרך זו תסנן את הרעש בצורה יעילה, אך מכיוון שהאלמנט יהיה ספציפי, במקרה זה עלולה להעביר רק סוג גודל מסוים של אותיות.

#### 4.3.4 שאלה 4

בשאלה זו יצרנו תמונה בינהרית של stick-man הנמצא מצד שמאל של התמונה ובעזרת פעולות מורפולוגיות נזיז אותו לצד ימין של התמונה.



איור 22 : תמונה ה-stick-man שיצרנו ותוצאות הפעולות המורפולוגיות

באיור זה ניתן לראות את התמונה המקורי שייצרנו (שמאל), לאחר dilation (אמצע) ולאחר erosion (ימין). בחרנו באלמנט ה-dilation להיות מטריצה  $3 \times 3$  על מנת ליצור הרחבת ימין ואלמנט ה-erosion להיות מטריצה  $3 \times 3$  על מנת ליצור צמצום שמאלי. תחילה הפעילו את פעולה dilation 13 פעמים על מנת להרחיב את הדמות עד צד ימין ולאחר מכן הפעילו את פעולה erosion 13 פעמים על מנת לצמצם את הדמות להיות דומה לדמות המקורי.

### 5. שאלה 3.5

כתב פונקציה התאפשר לייצר סדרת תמונות בתנועה של stick-man

```

function [M]=IMove(Track)
% Input:
% Track - a vector [n x 2] contains movement instruction for
% stick-man. the first column contains axis:
% 1=movement in the X-axis
% 2=movement in the Y-axis
% the second column contains number of steps in the same
% direction. %
% Output:
% M - a Matrix [50 x 50 x (n*steps)] contains the movements
% step-by-step.

% Creating the stick-man image
M=zeros(50);
M(2:11,4)=1;
M([2 3],[3 5])=1;

% Plotting the steps (f1) and an animated gif (f2)
f1=figure;
f2=figure;
imshow(M)
exportgraphics(f2,'SM50.gif','Append',true);

% Loops to run the dilation and erosion according to track
for i=1:length(Track)
    if Track(i,1)==1
        % X-axis movement
        SE=[0 0 0;0 1 1;0 0 0];
        if Track(i,2)<0
            % If the movement number is negative, flip the SE matrix
            SE=fliplr(SE);
        end
    else
        % Y-axis movement
        SE=[0 0 0;0 1 0;0 1 0];
        if Track(i,2)<0
            % If the movement number is negative, flip the SE matrix
            SE=flipud(SE);
        end
    end
    % plot the steps
    set(0,'CurrentFigure',f1)
    subplot(2,ceil(length(Track)/2),i)
    imshow(M)
end

```

```

title([num2str(i) '/10'])

% Dilation and erosion on the image and plotting the gif
set(0,'CurrentFigure',f2)
for j=1:abs(Track(i,2))
    M=imdilate(M,SE);
    imshow(M)
    exportgraphics(f2,'SM50.gif','Append',true);
end
% Erosion while SE is flipped 180 degrees
for j=1:abs(Track(i,2))
    M=imerode(M,rot90(rot90(SE)));
    imshow(M)
    exportgraphics(f2,'SM50.gif','Append',true);
end
end
% Plot the last step
set(0,'CurrentFigure',f1)
subplot(2,ceil(length(Track)/2),10)
imshow(M)
title('10/10')
f1.WindowState="fullscreen";

```

פונקציה זו מקבלת מטריצת שלבי תזוזה של דמות stick-man שיצרנו בתחילת הקוד וpolluta את התמונה הסופית לאחר כל ההזוזות. בדומה לסייע קודם, נבע עט ההזוזות בעזרת dilation ו-erosion על מנת להרחיב את הדמות בכיוון הרצוי ולצמצם את הדמות בכיוון הפוך בהתאם. מטריצת אלמנטי ה-SE עברו תזוזות הדמות בכיוונים החשובים של ציר ה-X וה-Y הינם:

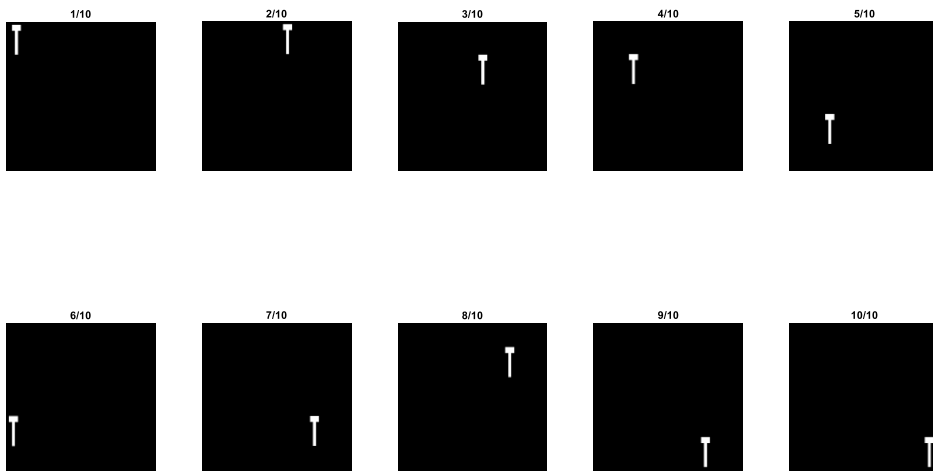
$$X_{movement} = \begin{pmatrix} 0 & 0 & 0 \\ 0 & 1 & 1 \\ 0 & 0 & 0 \end{pmatrix}, \quad Y_{movement} = \begin{pmatrix} 0 & 0 & 0 \\ 0 & 1 & 0 \\ 0 & 1 & 0 \end{pmatrix}$$

במידה ומספר התזוזה הינו שלילי, נזיז את הדמות בכיוון הפוך על ידי שינוי מטריצת אלמנט ה-SE לכיוון המתאים (נסובב את המטריצה ב-180 מעלות).



איור 23: גif אינימציה של תזוזות הדמות

Movement frames of the stick-man figure



איור 24 : תמונות הפרוייקטים של תזוזת הדמות

באיורים לעיל ניתן לראות את תזוזת הדמות. בחרנו להציג את התזוזה בעזרת מטריצת התזוזה הבאה :

$$Track = \begin{pmatrix} 1 & 25 \\ 2 & 10 \\ 2 & -15 \\ 2 & 20 \\ 1 & -11 \\ 1 & 35 \\ 2 & -23 \\ 2 & 30 \\ 1 & 9 \end{pmatrix}$$

באיור (23) ניתן לראות את פעולה הרחבה והכיווץ שיצרנו על מנת להגיע למיקום הסופי לאחר כל שורה ב-track ובאיור (24) נראה את המיקום הסופי של הדמות לאחר כל שורה.

### 6. שאלה 3.6

א. במקרה ונרצה לסמן את הפיקסל שהוא או לפחות אחד משני הפיקסלים מימינו שוויים

ל-1, נשתמש במטריצת אלמנט הראשית יהי

$$\begin{pmatrix} 0 & 0 & 0 & 0 & 0 \\ 0 & 0 & 0 & 0 & 0 \\ 0 & 0 & 1 & 1 & 1 \\ 0 & 0 & 0 & 0 & 0 \\ 0 & 0 & 0 & 0 & 0 \end{pmatrix}$$

במקום (3,3).

ב. במקרה אם בתמונה יש ריבוע לבן בגודל  $2 \times 2$ , על מנת ליצור בתמונה המוצא ריבוע לבן

בגודל  $4 \times 4$ , נשתמש במטריצת האלמנט הבאה :  

$$\begin{pmatrix} 1 & 1 & 1 \\ 1 & 1 & 1 \\ 1 & 1 & 1 \end{pmatrix}$$
 כאשר פיקסל הראשית  
 נמצא במרכז המטריצה במיקום (2,2).

## 4. זיהוי קצוטות:

### 1. שאלת 4.1

אופרטור sobel הינו אופרטור המימוש מדידת גראדיינט מרחבית דו ממדית על תמונה [3]. משתמשים באופרטור זה על מנת לזהות קצוטות (שינויים גבוהים במוגרויות הגרדיינט) בתמונה הרציפה. גראדיינט התמונה מוגדר כך:

$$(4) \quad \nabla f(x, y) = \begin{bmatrix} G_x \\ G_y \end{bmatrix} = \begin{bmatrix} \frac{\partial f}{\partial x} \\ \frac{\partial f}{\partial y} \end{bmatrix}$$

על מנת לחשב כל אחד מאיברי הגרדיינט בתמונה הדיגיטלית, השתמש בזוג גרעיני קונבולוציה:

$$G_x = \begin{pmatrix} -1 & 0 & 1 \\ -2 & 0 & 2 \\ -1 & 0 & 1 \end{pmatrix}, \quad G_y = \begin{pmatrix} 1 & 2 & 1 \\ 0 & 0 & 0 \\ -1 & -2 & -1 \end{pmatrix}$$

המטריצות הן סיבוב אחת של השניה ב-90 מעלות. כאשר נפעיל קונבולוציה על התמונה עם 2 גרעינים אלו בנפרד, נחשב את איברי הגרדיינט. בעת באופרטור sobel אנו מחשבים את אמפליטודת הגרדיינט כך:

$$(5) \quad |G| = \sqrt{G_x^2 + G_y^2} \approx |G_x| + |G_y|$$

בעזרת חישוב זה נקבל ערך ייחודי לכל פיקסל בתמונה. חישוב שיעורך האמפליטודה מורד קצב חישוב בכך שהינו חישוב פשוט יותר, לעומת שימוש בשערוך זה מתבצע בעיקר בעיבוד תמונות בזמן אמיתי.

ניתן לחשב גם את זווית הגרדיינט بصورة הבאה:

$$(6) \quad \theta = \arctan\left(\frac{G_y}{G_x}\right)$$

אך חישוב זה הינו אופציוני, רוב המידע הנוגע לזיהוי קצוטות נמצא באמפליטודת הגרדיינט. ניתן יהיה להשתמש בזווית הגרדיינט על מנת למצוא את כיוון השינוי המשמעותי בתמונה.

### 2. שאלת 4.2

בנוסחה (2) ואת חישובה بصورة דיסקרטית, כפי שהציגנו בסעיף 2.2, באמצעות קונבולוציה עם אחד מגרעיני הקונבולוציה הבאים:

$$\begin{pmatrix} 0 & -1 & 0 \\ -1 & 4 & -1 \\ 0 & -1 & 0 \end{pmatrix}, \quad \begin{pmatrix} -1 & -1 & -1 \\ -1 & 8 & -1 \\ -1 & -1 & -1 \end{pmatrix}$$

גרעינים אלו הם העיקריים ביותר שימושים בהם לחישוב הלפלסיאן.

הלפלסיאן הינו חישוב של נגזרת מרחבית שנייה של תמונה ולכן נותנים לו מידע על שינוי מהיר מאוד בה. לעיתים קרובות משתמשים תחילה בפילטר גאוסיאני על מנת להפחית את הרגימות לרעש של הלפלסיאן. על מנת להפחית סיבוכיות חישובית, ניתן תחילת לבצע קונבולוציה בין הלפלסיאן לבין פילטר הגאוסיאן, שכן לרוב מטריצות הקטנות בהרבה ממטריצת התמונה, ונקבל פילטר חדש המשלב ביניהם [4].

$$(7) \quad LoG(x, y) = -\frac{1}{\pi\sigma^4} \left[ 1 - \frac{x^2 + y^2}{2\sigma^2} \right] e^{-\frac{x^2+y^2}{2\sigma^2}}$$

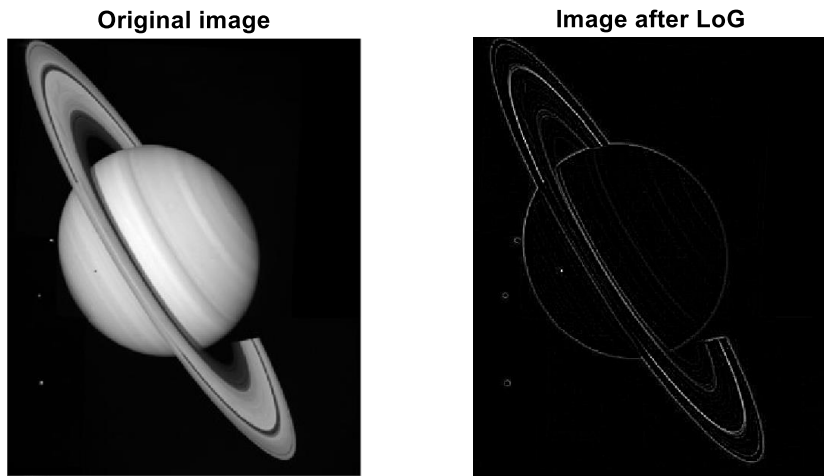
ניתן לשערך משווהה זו באמצעות גרעין בדיד. כאשר סטיית התקן הינה 1.4 :

0	1	1	2	2	2	1	1	0
1	2	4	5	5	5	4	2	1
1	4	5	3	0	3	5	4	1
2	5	3	-12	-24	-12	3	5	2
2	5	0	-24	-40	-24	0	5	2
2	5	3	-12	-24	-12	3	5	2
1	4	5	3	0	3	5	4	1
1	2	4	5	5	5	4	2	1
0	1	1	2	2	2	1	1	0

אייר 25 : מטריצת שיעור Laplacian of Gaussian עם סטיית התקן 1.4

באיור זה ניתן לראות את מטריצת הגרעין בה נשתמש על מנת לישם את Laplacian of Gaussian Method.

נישם שיטה זו על תמונה לבחירתנו :



אייר 26 : התמונה לפני ולאחר מעבר בפילטר LoG

באיור זה ניתן לראות את המוצא של התמונה לאחר מעבר בפילטר LoG. נשים לב כי קצוט הכוכב שהן בעלות השינויים המקסימליים חודדו ונקבעו בלבן בעוד שהשינויים הנמוכים נקבעו בשחור. במעבר במסנן זה זיהינו את קצוט העצמים בתמונה דבר אשר עלול להיות כלי טוב לזיהוי וסיווג.

נספחים:  
קוד המטלב

```
%% 1.2
% Load the picture
RawIMG=imread('IMG_0989.jpg');
% Convert to grayscale
GrayIMG=rgb2gray(RawIMG);
% Normalize
NormIMG=mat2gray(GrayIMG);
TransIMG=NormIMG;

% Transformation visualization
transformation=ones(1,1001);
transformation([1:300 601:1001])=0;
figure
plot(0:0.001:1,transformation)
title('Transformation visualization')
xlabel('Gray level')
ylabel('Multiplication factor')
ylim padded

% Show img
figure
subplot(121)
imshow(NormIMG)
title('Original image')

% Transformation
TransIMG(NormIMG<=0.3 | NormIMG>=0.6)=0;
% Show img
subplot(122)
imshow(TransIMG)
title('Transformed image')

% Histograms
f=figure(WindowState="maximized");
subplot(121)
imhist(NormIMG)
title('Original image',FontSize=18)
xlabel({'','','Gray level'},FontSize=16)
ylabel('Count',FontSize=16)
ylim([0 2.5e4])

subplot(122)
imhist(TransIMG)
title('Transformed image',FontSize=18)
xlabel({'','','Gray level'},FontSize=16)
ylabel('Count',FontSize=16)
ylim([0 2.5e4])

%% 1.4
% Function activation
NegIMG=Negative(NormIMG);
% Plot Negative image
figure
subplot(121)
imshow(NormIMG)
```

```

title('Original image')

subplot(122)
imshow(NegIMG)
title('Negative image')

%% 1.5
% Partially linear irreversible transformation
f=0:0.01:1;
g=zeros(size(f));

ind=f<=0.75;
g(ind)=f(ind)/3;
g(~ind)=3*f(~ind)-2;
% Plotting the transformation
figure
subplot(121)
plot(f,g)
title('Transformation T_1\{f[m,n]\}')
xlabel('f[m,n] values')
ylabel('g[m,n] values')
grid on

subplot(122)
plot(g,f)
title('Inverse transformation T_1\{g[m,n]\}')
xlabel('g[m,n] values')
ylabel('f[m,n] values')
grid on

% Partially linear non-inversible transformation
f=0:0.01:1;
g=zeros(size(f));

ind=f<0.5;
g(ind)=f(ind);
g(~ind)=1-f(~ind);
% Plotting the transformation
figure
plot(f,g)
title('Transformation T_2\{f[m,n]\}')
xlabel('f[m,n] values')
ylabel('g[m,n] values')
ylim([0 1])
grid on

%% 1.8
% Load the picture
RawIMG imread('IMG20240117191010~7.jpg');
% Convert to grayscale
GrayIMG=rgb2gray(RawIMG);
% Normalize
mandiIMG=mat2gray(GrayIMG);

% Function activation
UsAndMandi=AddToMandi(mandiIMG);

% Plotting the result
figure

```

```

imshow(UsAndMandi)
title('Stinky Mandi and us at the museum')

%% 2.3
% Define Matrices for the filters
Lap_filter = [-1 -1 -1; -1 8 -1; -1 -1 -1];
avg_filter = (1/9) * ones(3, 3);

% Correct the padding to create a 30x30 matrix
padded_Lap = padarray(Lap_filter, [13 13], 'post');
padded_avg = padarray(avg_filter, [13 13], 'post');

padded_Lap = padarray(padded_Lap, [14 14], 'pre');
padded_avg = padarray(padded_avg, [14 14], 'pre');

% FFT on the padded filters
fft_laplacian = fft2(padded_Lap);
fft_average = fft2(padded_avg);

% Display the magnitude using surface
figure(WindowState="maximized");
subplot(121)
surface(-15:14, -15:14, abs(fftshift(fft_laplacian)));
title('Laplacian Filter FFT');
colormap;
colorbar;

subplot(122)
surface(-15:14, -15:14, abs(fftshift(fft_average)));
title('Average Filter FFT');
colormap;
colorbar;

%% 2.5
original=double(imread('images\lenna.jpg'))/255;
%imshow(original)

% Creating the average filters of different sizes by fspecial function
H3=fspecial('average');
H4=fspecial('average',[4 4]);
H5=fspecial('average',[5 5]);

% Blurring the image - apply the filter with zero padding
blurred3 = imfilter(original, H3, 'same');
blurred4 = imfilter(original, H4, 'same');
blurred5 = imfilter(original, H5, 'same');

%plotting original and blurred pictures
figure
subplot(2,2,1)
imshow(original);
title('Original image')
subplot(2,2,2)
imshow(blurred3);
title('Blurred lenna using 3x3 average filter')
subplot(2,2,3)
imshow(blurred4);
title('Blurred lenna using 4x4 average filter')
subplot(2,2,4)

```

```

imshow(blurred5);
title('Blurred lenna using 5x5 average filter')

% Using laplacian filter to improve the picture quality
% Convert the image to the frequency domain
F_blu3 = fft2(double(blurred3));
F_blu4 = fft2(double(blurred4));
F_blu5 = fft2(double(blurred5));
% Create the frequency domain filter (same size as the image)
F_filter = fft2(double(Lap_filter),size(original,1),size(original,2));
% Apply the filter in the frequency domain
F_filtered3 = F_blu3 .* F_filter;
F_filtered4 = F_blu4 .* F_filter;
F_filtered5 = F_blu5 .* F_filter;
% Convert back to the spatial domain
filtered_imageB3 = ifft2(F_filtered3);
filtered_imageB4 = ifft2(F_filtered4);
filtered_imageB5 = ifft2(F_filtered5);

%plotting original and the pictures after improving (using laplacian
%filter)
figure
subplot(2,2,1)
imshow(original);
title('Original image')
subplot(2,2,2)
imshow(filtered_imageB3+original);
title('Filtered lenna for Blurred3')
subplot(2,2,3)
imshow(filtered_imageB4+original);
title('Filtered lenna for Blurred4')
subplot(2,2,4)
imshow(filtered_imageB5+original);
title('Filtered lenna for Blurred5')

% improving the picture using fspecial function
LapF=fspecial('laplacian');
% improve the image - apply the filter
fil3 = imfilter(blurred3, LapF);
fil4 = imfilter(blurred4, LapF);
fil5 = imfilter(blurred5, LapF);

%plotting original and the pictures after improving (using laplacian
%filter by fspecial function)
figure
subplot(2,2,1)
imshow(original);
title('Original image')
subplot(2,2,2)
imshow(fil3+original);
title('Filtered lenna for Blurred3')
subplot(2,2,3)
imshow(fil4+original);
title('Filtered lenna for Blurred4')
subplot(2,2,4)
imshow(fil5+original);
title('Filtered lenna for Blurred5')

% MSE calculation

```

```

% for laplacian
err1 = immse(blurred3,filtered_imageB3+original);
err2 = immse(blurred4,filtered_imageB4+original);
err3 = immse(blurred5,filtered_imageB5+original);
% using fspecial
err4 = immse(blurred3,fil3+original);
err5 = immse(blurred4,fil4+original);
err6 = immse(blurred5,fil5+original);

%% 2.6
% upload image
pic = imread('images/lenna.jpg');
pic = im2double(pic);
%pic = rgb2gray(pic); is already gray

P = [0.1 0.5 0.9];

%plotting
figure
subplot(2,2,1)
imshow(pic)
title('original')
for i=1:3
    imf = FreqCanceling(pic,1-P(i));
    subplot(2,2,i+1)
    imshow(imf)
    title([num2str(P(i) * 100), '% filtered']);
end

%% 2.8
IM = double(imread('coins.png'))/255;
noisy_I = imnoise(IM, 'salt & pepper');
filtered_I_gaussian = CleanSP(noisy_I, 'Gaussian', 3, 3);
filtered_I_median = CleanSP(noisy_I, 'Median', 3, 3);

figure
subplot(2,2,1)
imshow(IM)
title('Original Image');
subplot(2,2,2)
imshow(noisy_I)
title('Noisy Image');
subplot(2,2,3)
imshow(filtered_I_gaussian)
title('Filtered Image (Gaussian)');
subplot(2,2,4)
imshow(filtered_I_median)
title('Filtered Image (Median)');

%% 3.2
% Loading circles picture
circles=imread("images\circles.png");
% Function activation
[n,coordinates]=LocateCirc(circles);

%% 3.3
% Loading the image
Iexam=imread('images\Iexam.tif');
% Normalizing the matrix

```

```

Iexam=mat2gray(Iexam);

% Showing the image
figure
imshow(Iexam)
title('Eye exam')

% Cell vector of the noisy images
IexamSP={imnoise(Iexam,'salt & pepper',0.01),imnoise(Iexam,'salt & pepper',0.03),imnoise(Iexam,'salt & pepper',0.2)};
% Allocating memory
IexamFiltered=IexamSP;
percentages=[1,3,20];
% Loop for filtering and showing the results
figure
for i=1:3
    % Filtering using opening and then closing of the noisy images
    IexamFiltered{i}=imclose(imopen(IexamSP{i}),ones(3)),ones(3));

    % Plotting the noisy images
    subplot(2,3,i)
    imshow(IexamSP{i})
    title([num2str(percentages(i)) '%'])
    if i==1
        ylabel('Noisy picture')
    end
    % Plotting the filtered images
    subplot(2,3,i+3)
    imshow(IexamFiltered{i})
    if i==1
        ylabel('Filtered picture')
    end
end
sgtitle('Salt & Peper noise and filtered images')

%% 3.4
% Creating the stick-man
smIMG=zeros(20);
smIMG(10:19,4)=1;
smIMG([10 11],[3 5])=1;

% Plotting the stick-man
figure
subplot(131)
imshow(smIMG)
title('Original image')
% Moving the stick-man using dilation
SEd=[0 0 0 ;0 1 1;0 0 0];
for i=1:13
    smIMG=imdilate(smIMG,SEd);
end
% Plotting
subplot(132)
imshow(smIMG)
title('Dilated image')

% Moving the stick-man using erosion
SEE=[0 0 0 ;1 1 0;0 0 0];
for i=1:13

```

```

    smIMG=imerode(smIMG,SEe);
end
% Plotting
subplot(133)
imshow(smIMG)
title('Eroded image')

%% 3.5
% Creating track matrix
track=[1 25;2 10;1 -15;2 20;1 -11;1 35;2 -23;2 30;1 9];
% Function activation
M=IMove(track);

%% 4.2
% Loading the image
saturn=imread('saturn.jpg');
% Converting to gray-scale
saturn=rgb2gray(saturn);
% Normalizing the image
saturn=mat2gray(saturn);

% Creating the element for LoG filter
h=fspecial("log");

% Plotting the results
figure
subplot(121)
imshow(saturn)
title('Original image')

subplot(122)
imshow(imfilter(saturn,h))
title('Image after LoG')

```

**פונקציית עזר:**

```

function filteredIMG = FreqCanceling(IMG,P_energy)
% filter image according to energy threshold of low frequencies

IMGfft = fftshift(fft2(IMG(2:end,2:end)));
s = 0.02:0.1:10;
Energy = sum(sum(abs(IMGfft).^2)); %the total energy
for i=1:length(s)
    % high-pass filter h is created by subtracting a Gaussian low-pass filter from
    % an all-ones matrix.
    % The fspecial function generates the Gaussian filter with the current
    % standard deviation s(i).
    h = ones(size(IMGfft)) - fspecial('gaussian',size(IMGfft),s(i));
    filtered = IMGfft.*h; %apply the HPF
    energy = sum(sum(abs(filtered).^2));
    if energy >= P_energy*Energy
        filteredIMG = abs(ifft2(filtered));
        break
    end
end
end

```

## ביבליוגרפיה:

- [1] מ. אלעד, *עיבוד תמונות. הפקולטה להנדסת חשמל, הטכניון*, 2003.
- [2] P. Soille, “Hit-or-miss and Skeletons,” in *Morphological Image Analysis: Principles and Applications*, P. Soille, Ed., Berlin, Heidelberg: Springer, 1999, pp. 129–154. doi: 10.1007/978-3-662-03939-7\_5.
- [3] “Feature Detectors - Sobel Edge Detector.” Accessed: Jan. 21, 2024. [Online]. Available: <https://homepages.inf.ed.ac.uk/rbf/HIPR2/sobel.htm>
- [4] “Spatial Filters - Laplacian/Laplacian of Gaussian.” Accessed: Jan. 21, 2024. [Online]. Available: <https://homepages.inf.ed.ac.uk/rbf/HIPR2/log.htm>